



## การพัฒนาความคงรูปของไฮโดรเจลจากเส้นใยปาล์มด้วยยางธรรมชาติ

ณัฐธิดา ศรีราชยา\*

สาขาวิชาเทคโนโลยีอุตสาหกรรม คณะวิทยาศาสตร์และเทคโนโลยี มหาวิทยาลัยราชภัฏสุราษฎร์ธานี

\* ผู้นับพนอีบ้านงาน โทรศัพท์ 08 6548 5990 อีเมล: Nuttida.sri@gmail.com DOI: 10.14416/j.kmutnb.2021.03.006

รับเมื่อ 2 มิถุนายน 2563 แก้ไขเมื่อ 15 กุมภาพันธ์ 2563 ตอบรับเมื่อ 20 กุมภาพันธ์ 2563 เผยแพร่อนไลน์ 9 มีนาคม 2564

© 2022 King Mongkut's University of Technology North Bangkok. All Rights Reserved.

### บทคัดย่อ

ปาล์มเป็นพืชชนิดหนึ่งที่มีปริมาณเซลลูโลสสูงสามารถนำไปใช้ทำเป็นไฮโดรเจลได้ แต่ยังมีสมบัติการคงรูปที่ไม่ดี งานวิจัยนี้จึงมีวัตถุประสงค์เพื่อเพิ่มสมบัติความคงรูปของไฮโดรเจลจากเส้นใยปาล์มด้วยยางธรรมชาติ โดยการเตรียมไฮโดรเจลผสม สามารถเตรียมได้ที่อัตราส่วนระหว่างสารละลายเซลลูโลสจากเส้นใยปาล์ม 90–95% โดยปริมาตรต่อสารละลายยางธรรมชาติ 5–10% โดยปริมาตร ด้วยการกวนสารละลายผสมให้เข้าเป็นเนื้อเดียวกัน หลังจากนั้นนำสารละลายผสมไปทำให้เจลคงรูปด้วยวิธีการเปลี่ยนเฟสแบบเปียก ซึ่งไฮโดรเจลผสมนี้มีความคงรูป และความแข็งแรงที่ดีกว่าไฮโดรเจลที่เตรียมได้จากเส้นใยปาล์มเพียงอย่างเดียว สังเกตได้จากกล้องจุลทรรศน์อิเล็กตรอนแบบส่องกราด จะเห็นการเชื่อมต่อของโครงร่างตาข่ายในไฮโดรเจล โดยอนุภาคของยางธรรมชาติเข้าไปเติมเต็มที่ช่องว่างระหว่างโครงร่างตาข่ายทำให้เกิดการเชื่อมผ่านของช่องว่าง ซึ่งยางธรรมชาติจะทำหน้าที่เป็นวัสดุเสริมแรง นอกจากนี้การทดสอบเบอร์เจน์ต์การดูดซับน้ำของไฮโดรเจลผสมที่เตรียมได้พบว่า ยังมีอัตราการดูดซับน้ำที่สูง ถึงแม้ว่าจะน้อยกว่าไฮโดรเจลที่เตรียมได้จากเส้นใยปาล์มเพียงอย่างเดียว แต่ก็ยังสามารถนำไปใช้งานเป็นวัสดุดูดซับน้ำที่ดีได้

คำสำคัญ: ไฮโดรเจล เส้นใยปาล์ม ยางธรรมชาติ ความคงรูป วัสดุเสริมแรง



## Shape Stability Enhancement of Palm Fiber Hydrogels with Natural Rubber

Nuttida Srirachya\*

Department of Industrial Technology, Faculty of Science and Technology, Suratthani Rajabhat University, Surat Thani, Thailand

\* Corresponding Author, Tel. 08 6548 5990, E-mail: Nuttida.sri@gmail.com DOI: 10.14416/j.kmutnb.2021.03.006

Received 2 June 2020; Revised 15 July 2020; Accepted 20 July 2020; Published online: 9 March 2021

© 2022 King Mongkut's University of Technology North Bangkok. All Rights Reserved.

### Abstract

Palm is natural source of cellulose which can be used for hydrogels preparation, but its property on shape stability is poor. Therefore, this research aims to enhance the shape property of hydrogels from palm fiber with Natural Rubber (NR). The composite hydrogels could be prepared at the ratio of 90–95% cellulose solution volume to NR solution 10–5% volume by stirring the mixture until reaching the homogeneous solution. After that, the solution was mixed to the gel by wet - phase inversion method to increase shape stability. The composite hydrogels showed better in shape formation and strength than the hydrogels prepared from only cellulose palm fibers. The results from the Scanning Electron Microscope (SEM) showed the connecting network of the hydrogels structure. The NR particles filled in the gaps between the networks creating an interconnected layer. That means NR acted as a reinforcement in composite hydrogels. In addition, the water absorption test of the hydrogels showed that the composite hydrogels had high-water absorption rate although it was less than the hydrogels prepared only from palm fibers. However, it can be used as good water-absorbing materials.

**Keywords:** Hydrogels, Palm Fibers, Natural Rubber, Shape Stability, Reinforcement Materials



## 1. บทนำ

ไฮโดรเจลเป็นผลิตภัณฑ์อีกหนึ่งชนิดที่ได้รับความสนใจมากในปัจจุบัน เพราะไฮโดรเจลสามารถดูดซึบน้ำได้ในปริมาณที่สูงโดยไม่เกิดการละลายน้ำ เนื่องจากเป็นวัสดุพอลิเมอร์ที่มีข้อเขื่อมต่อ กัน เป็นโครงสร้างตาข่าย มีการเขื่อมขวางทั้งแบบทางกายภาพ และทางเคมี ซึ่งสารตั้งต้นที่จะใช้เตรียมไฮโดรเจลนั้นจะต้องเป็นสารที่มีความเป็นกรดสูง เพื่อที่จะดูดซึบน้ำได้ในปริมาณมาก โดยที่นำไปแล้วไฮโดรเจลมีการใช้งานได้อย่างกว้างขวางทั้งทางด้านการแพทย์ [1]–[4] การใช้เป็นวัสดุบำรุงน้ำเสีย [5], [6] และใช้เป็นวัสดุในทางการเกษตร [7], [8] ถึงแม้ว่าไฮโดรเจลจะสามารถเตรียมได้จากพอลิเมอร์สังเคราะห์ และพอลิเมอร์จากธรรมชาติ แต่ไฮโดรเจลที่เตรียมได้จากการดูดซึบพอลิเมอร์จากธรรมชาติ ทำให้ได้มาตั้งแต่ต้นๆ ที่สูงในปัจจุบัน เนื่องจากมีความเป็นมิตรต่อสิ่งแวดล้อม โดยที่นำไปแล้ววัสดุไฮโดรเจลจากธรรมชาติสามารถเตรียมได้จากพอลิเมอร์หลักหลายชนิด เช่น แป้ง [9] ไครโตชาน [5], [10] และเซลลูโลส [11]–[13]

ซึ่งเซลลูโลสที่ได้จากพืชถือเป็นวัตถุคุณภาพหลักที่สำคัญในการเตรียมไฮโดรเจล เพราะเป็นวัสดุที่สามารถถ่ายอุ่นสลายได้มีความทนทานต่อความร้อนและสารเคมีได้สูง โดยที่นำไปแล้วเซลลูโลสไฮโดรเจลสามารถเตรียมได้จากพืชหลายชนิด เช่น ฝ้าย [14] ไผ่ [15] และข้าวอ้อย [16]–[18] โดยเซลลูโลสไฮโดรเจลสามารถเตรียมได้จากสารละลายเซลลูโลส ซึ่งทำให้เกิดการเขื่อมขวางทางกายภาพด้วยวิธีการเปลี่ยนเฟสแบบเปียก (Wet - Phase Inversion Method) ซึ่งเป็นวิธีการเปลี่ยนสภาพของสารละลายที่เป็นของเหลวให้กลายเป็นเจลโดยไม่ต้องใช้สารเขื่อมขวางสามารถทำให้เกิดเจลเป็นโครงสร้างตาข่ายด้วยวิธีทางกายภาพ โดยใช้เชื้อองค์อหานอลเป็นตัวช่วยในการเปลี่ยนเฟส [16]

โดยที่นำไปแล้วเซลลูโลสไม่สามารถละลายได้ในน้ำ หรือตัวทำละลายอินทรีย์อื่นๆ ที่นำไป เพราะเซลลูโลสสมิโครงสร้างที่เป็นพลิก และมีพันธะไฮโดรเจนที่แข็งแรงมาก [16]–[19] จากการศึกษาพบว่า เซลลูโลสสามารถละลายได้ในตัวทำละลายจำพวกอัลคาไลน์/ญี่รุี่ย [19] สารละลายผสมระหว่างลิเทียมคลอไรด์และไดเมทิโลอะเซตามิเด (LiCl/DMAC) [16]–[18]

สืบเนื่องจากงานวิจัยก่อนหน้านี้ของผู้วิจัย [17], [18] ดังนั้นในงานวิจัยนี้จึงได้ใช้สารละลายผสมระหว่างลิเทียมคลอไรด์และไดเมทิโลอะเซตามิเดเป็นตัวทำละลายเซลลูโลส

ปลาermน้ำมันถือได้ว่าเป็นพืชเศรษฐกิจที่สำคัญของประเทศไทย ปัจจุบันประเทศไทยได้มีการเพาะปลูกป่าล้มน้ำมันเป็นจำนวนมาก เมื่อนำผลป่าลงน้ำมันออกไปจำหน่ายแล้ว ในสวนป่าล้มน้ำมันยังมีเศษวัสดุเหลือทั้งทางการเกษตรที่สำคัญอยู่อย่างหนึ่งคือเลนไยป่าล้ม ซึ่งการนำไปใช้ประโยชน์ยังมีน้อย จากการศึกษาข้อมูลพบว่า เส้นไยป่าล้มมีส่วนของเซลลูโลสในปริมาณที่สูง นอกจากนี้ยังมีส่วนของลิกนิน และเยมิเซลลูโลสที่ห่อหุ้มเซลลูโลสไว้ ก่อนนำเส้นไยป่าล้มไปใช้ประโยชน์จึงต้องมีการปรับสภาพของเส้นไยเพื่อกำจัดลิกนิน และเยมิเซลลูโลสออกไปก่อน จากการศึกษาในงานวิจัยก่อนหน้านี้พบว่า สามารถปรับสภาพเส้นไยป่าล้มด้วยน้ำร้อนที่อุณหภูมิ 80 องศาเซลเซียส หลังจากนั้นพอกขาด้วยสารละลายโซเดียมไฮปอคลอโรท [20] ซึ่งวิธีการนี้เป็นการปรับสภาพของเส้นไยโดยลดการใช้สารเคมีทำให้มีความเป็นมิตรต่อสิ่งแวดล้อมเพิ่มขึ้น

ในส่วนโครงสร้างของเซลลูโลสนั้นจะประกอบด้วยหมู่ไฮดรอกซิลเป็นจำนวนมากทำให้เพิ่มความสามารถในการดูดซึบน้ำได้ในปริมาณที่มาก และเซลลูโลสยังใช้เป็นวัตถุคุณภาพที่สำคัญในการเตรียมวัสดุไฮโดรเจล แต่เนื่องจากเซลลูโลสที่ได้จากเส้นไยป่าล้มนั้นมีความแข็งสูง จึงละลายในตัวทำละลายได้ยากต้องมีการเพิ่มปริมาณของลิเทียมคลอไรด์ที่ผสมอยู่ในไดเมทิโลอะเซตามิเด เพื่อให้เซลลูโลสจากเส้นไยป่าล้มเกิดการละลายได้ดีขึ้น และเมื่อลงนำสารละลายเซลลูโลสจากเส้นไยป่าล้มไปทำให้เจลคงรูปก็ไม่สามารถทำให้เกิดการคงรูปได้

ในงานวิจัยนี้ ผู้วิจัยจึงสนใจนำยาฆ่าเชื้อติดมาเป็นวัสดุเสริมแรงให้แก่เซลลูโลสจากเส้นไยป่าล้ม สืบเนื่องจากงานวิจัยก่อนหน้านี้ผู้วิจัยได้นำยาฆ่าเชื้อติดมาเป็นวัสดุเสริมแรงให้แก่เซลลูโลสที่สกัดได้จากข้าวอ้อย [17], [18] พบว่า ยานาร์มชาติช่วยเพิ่มความแข็งแรงให้แก่ไฮโดรเจลจากข้าวอ้อยได้ นอกจากนี้ยังช่วยลดการดูดซึบตัวน้ำเรื่องของความแข็งแรงเชิงกลและความยืดหยุ่นที่สูง งานวิจัยนี้จึงได้นำยาฆ่าเชื้อติดมาช่วยเพิ่มสมบัติความคงรูปให้กับไฮโดรเจล



จากเส้นใยปาล์ม และงานวิจัยนี้ยังเป็นการเตรียมผลิตภัณฑ์ที่ทำมาจากธรรมชาติ ลดการใช้สารเคมี เป็นการอนุรักษ์สิ่งแวดล้อมที่ดีด้วย

## 2. วัสดุ อุปกรณ์และวิธีการวิจัย

### 2.1 วัสดุและสารเคมี

เส้นใยปาล์มน้ำมันจากสวนปาล์มน้ำมันในจังหวัดสุราษฎร์ธานี พันธุ์สุราษฎร์ธานี 8 ยางธรรมชาติแห้งซึ่งมาจาก การนำน้ำยางสดจากสวนยางพาราในจังหวัดสุราษฎร์ธานี มาทิ้งไว้ให้แห้งเป็นเวลา 7 วัน ก่อนนำมาทดลอง กรดซัลฟิวริก ( $H_2SO_4$ ) โซเดียมไฮดรอกไซด์ ( $NaOH$ ) โซเดียมไฮปอคลอไรท์ ( $NaOCl$ ) ลิเทียมคลอไรด์ ( $LiCl$ ) เอทานอล และโกลูอิน จากบริษัทแกรมมาโก้ (ประเทศไทย) จำกัด เชียงใหม่-ไดเมทิลอะซีตามาร์ด (*N,N*-dimethylacetamide) (DMAc) จากบริษัท บริษัท อาร์ซีไอ แล็บสแกน จำกัด

### 2.2 วิธีการวิจัย

#### 2.2.1 วิธีการสกัดเซลลูโลสจากเส้นใยปาล์ม [20]

นำเส้นใยปาล์มมาล้างในน้ำเปล่าเพื่อกำจัดสิ่งสกปรก หลังจากนั้นนำไปอบในเตาอบที่อุณหภูมิ 60 องศาเซลเซียส เป็นเวลา 6 ชั่วโมง เมื่อเส้นใยแห้งดีแล้วนำมารดให้เป็นชิ้นเล็กๆ ขนาดประมาณ 5 เซนติเมตร หลังจากนั้นนำมารีด成ชิ้นน้ำหนักประมาณ 5 กรัม แล้วนำไปปั่นกวนในน้ำก้อนลับปริมาตร 500 มิลลิลิตร ที่อุณหภูมิ 80 องศาเซลเซียส เป็นเวลา 8 ชั่วโมง เมื่อครบตามเวลาที่กำหนดแล้วนำเส้นใยเซลลูโลสที่ได้จากชิ้นตอนก้อนหน้ามาฟอกขาวโดยการปั่นกวนในสารละลาย 10% โดยปริมาตรของสารละลายโซเดียมไฮปอคลอไรท์ (10%vol.  $NaOCl$ ) ที่อุณหภูมิห้อง เป็นเวลา 6 ชั่วโมง หลังจากนั้นทำการลอกลัง ล้างเส้นใยด้วยน้ำก้อนลับ 5 ครั้ง เพื่อกำจัดสารเคมีที่หลงเหลืออยู่ออกไป นำเส้นใยไปอบที่อุณหภูมิ 60 องศาเซลเซียส เพื่อใช้ในชิ้นตอนต่อไป

#### 2.2.2 วิธีการเตรียมสารละลายเซลลูโลสจากเส้นใยปาล์ม

นำเซลลูโลสที่สกัดได้จากการกระบวนการที่ 2.2.1 มาปั่นแข็ง ในน้ำก้อนลับเป็นเวลา 1 วัน หลังจากนั้นบีบเส้นใยให้แห้งหมดๆ

แล้วนำไปปั่นแข็งในอุ่นเป็นเวลา 1 วัน หลังจากนั้นบีบให้แห้งหมดๆ แล้วนำเส้นใยมาปั่นแข็งในอุ่น เชียงใหม่ เป็นเวลา 1 วัน ขั้นตอนสุดท้ายนำเส้นใยเซลลูโลส มาละลายในสารละลายผสมระหว่าง 12% โดยน้ำหนักของลิเทียมคลอไรด์ และไดเมทิลอะซีตามาร์ด (12 wt.% LiCl/DMAc) โดยการปั่นกวนจนกว่าสารละลายจะเป็นเนื้อเดียวกัน

#### 2.2.3 วิธีการเตรียมสารละลายยางธรรมชาติ

นำยางธรรมชาติแห้งมาซึ้งน้ำหนักจำนวน 1 กรัม หลังจากนั้นตัดให้เป็นชิ้นเล็กๆ แล้วนำไปละลายโดยการปั่นกวนในโกลูอินปริมาตร 100 มิลลิลิตร ที่อุณหภูมิ 60 องศาเซลเซียส จนได้สารละลายเป็นเนื้อเดียวกัน

#### 2.2.4 วิธีการเตรียมไฮโดรเจลผสมระหว่างเซลลูโลสจากเส้นใยปาล์มและยางธรรมชาติ

นำสารละลายเซลลูโลสที่เตรียมได้จากการกระบวนการที่ 2.2.2 และสารละลายยางธรรมชาติจากการกระบวนการที่ 2.2.3 มาผสมให้เข้ากันในอัตราส่วนของสารละลายเซลลูโลสต่อสารละลายยางธรรมชาติ (Cellulose : NR) ที่ต่างๆ กัน (100:0, 95:5, 90:10 และ 85:15) ปั่นจนได้เป็นสารละลายเนื้อเดียวกัน หลังจากนั้น นำสารละลายผสมมาเทลงในภาชนะเพาะเชื้อที่วางไว้ในกล่องที่มีไอกลางออกห้องเย็นเป็นเวลา 24 ชั่วโมง โดยใช้วิธีการเปลี่ยนเฟสแบบเปียก (Wet - Phase Inversion Method) ซึ่งเป็นกระบวนการที่ใช้ไออกเรเจของเอทานอลเป็นตัวช่วย ทำให้สารละลายเกิดการรวมตัวเป็นไฮโดรเจล โดยจะเกิดการเชื่อมขวางของไฮโดรเจลแบบภายในภายนอก หลังจากเจลเกิดการจับตัวแล้วนำไฮโดรเจลที่เตรียมได้มาล้างในน้ำก้อนลับจำนวน 5 ครั้ง เพื่อกำจัดสารละลายที่ยังหลงเหลืออยู่ แล้วเช็คทิ้งไว้ในน้ำเพื่อนำไฮโดรเจลไปทดสอบคุณสมบัติต่างๆ ต่อไป

### 2.3 การวิเคราะห์สมบัติของสารที่เตรียมได้

#### 2.3.1 การวิเคราะห์สมบัติการดูดซับน้ำของไฮโดรเจล

นำไฮโดรเจลที่เตรียมได้จากสภาพต่างๆ มาแข็งน้ำก้อนลับเป็นเวลา 7 วัน แล้วนำไปคำนวณเปอร์เซ็นต์ของการดูดซับน้ำ [ดังสมการที่ (1)] ของไฮโดรเจลได้จากสูตรข้างล่าง โดยที่  $P_0$  และ  $P_1$  คือ น้ำหนักก่อนแข็งน้ำของไฮโดรเจล และน้ำหนักหลังจากแข็งน้ำเป็นเวลา 7 วันของไฮโดรเจล



$$\text{การดูดซึบ} (\%) = \frac{(W_1 - W_0)}{W_0} \times 100 \quad (1)$$

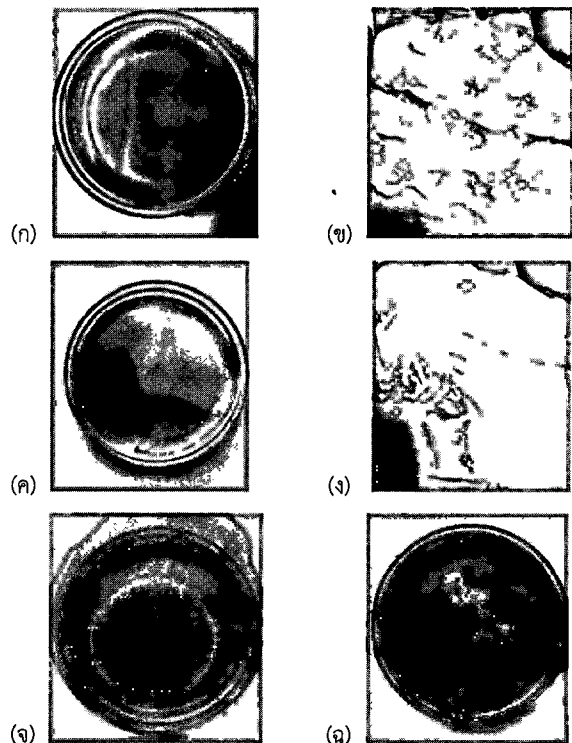
2.3.2 การวิเคราะห์หาหมู่ฟังก์ชันและโครงสร้างทางเคมีด้วยเครื่องฟูเรียร์ทรายสฟอร์มอินฟราเรดสเปกโตรสโคป (Fourier Transform-Infrared Spectroscopy (FT-IR)) ยี่ห้อ Nicolet iS50 FT-IR โหมด ATR-FTIR ใช้ช่วงการแสแกนจาก 4600 ถึง  $670 \text{ cm}^{-1}$  เรโซลูชัน  $8 \text{ cm}^{-1}$  การสแกน 16 ครั้งต่อตัวอย่าง

2.3.3 การวิเคราะห์สัณฐานวิทยาด้วยกล้องจุลทรรศน์อิเล็กตรอนแบบส่องกราด (Scanning Electron Microscope; SEM) โดยใช้เครื่องยี่ห้อ Jeol SEM สารตัวอย่างนำไปทำให้แห้งด้วยเครื่องอบแห้งแบบเยือกแข็ง ยี่ห้อ Christ รุ่น Beta 2-8 Lscbasic เป็นเวลา 1 วัน หลังจากนั้นนำตัวอย่างมาหักเพื่อวิเคราะห์โครงสร้างภาคตัดขวาง และนำไปเคลือบด้วยทองคำขาวก่อนการทดลอง

### 3. ผลการทดลอง

#### 3.1 ลักษณะทางกายภาพและความแข็งแรงของไฮโดรเจลที่เตรียมได้

รูปที่ 1 แสดงลักษณะทางกายภาพของไฮโดรเจลที่เตรียมได้ในสารละลายเซลลูโลสและสารละลายน้ำยาธรรมชาติ ที่ความเข้มข้นต่างกันพบว่า ไฮโดรเจลที่เตรียมได้จากสารละลายเซลลูโลสเพียงอย่างเดียวมีลักษณะสีขาวขุ่น เมื่อเทียบกับไฮโดรเจลที่มีส่วนผสมของสารละลายน้ำยาธรรมชาติ ที่อัตราส่วน 95 : 5 พบว่ามีความแข็งแรงมากกว่า แต่สามารถดูดซึบ 물ได้มากกว่า สำหรับไฮโดรเจลที่มีส่วนผสมของสารละลายน้ำยาธรรมชาติ ที่อัตราส่วน 90 : 10 และ 85 : 10 พบว่ามีความสามารถดูดซึบน้ำลดลงเมื่อเพิ่มปริมาณของสารละลายน้ำยาธรรมชาติ ที่อัตราส่วน 90 : 10 และ 85 : 10 แต่ความสามารถดูดซึบของไฮโดรเจลที่มีส่วนผสมของสารละลายน้ำยาธรรมชาติ ที่อัตราส่วน 95 : 5 นั้นคงที่



รูปที่ 1 ลักษณะทางกายภาพของไฮโดรเจลที่เตรียมได้ (a) ไฮโดรเจลจากสีน้ำเงิน (b) ไฮโดรเจลจากสีเหลือง (c) ไฮโดรเจลผสมระหว่างสารละลายน้ำยาธรรมชาติที่อัตราส่วน 95 : 5 (d) ไฮโดรเจลผสมระหว่างสารละลายน้ำยาธรรมชาติที่อัตราส่วน 90 : 10 (e) ไฮโดรเจลผสมระหว่างสารละลายน้ำยาธรรมชาติที่อัตราส่วน 85 : 10 (f) ไฮโดรเจลผสมระหว่างสารละลายน้ำยาธรรมชาติที่อัตราส่วน 90 : 5 เมื่อเทียบกับไฮโดรเจลที่มีส่วนผสมของสารละลายน้ำยาธรรมชาติ ที่อัตราส่วน 95 : 5 พบว่ามีความสามารถดูดซึบน้ำลดลงเมื่อเพิ่มปริมาณของสารละลายน้ำยาธรรมชาติ ที่อัตราส่วน 90 : 10 และ 85 : 10 แต่ความสามารถดูดซึบของไฮโดรเจลที่มีส่วนผสมของสารละลายน้ำยาธรรมชาติ ที่อัตราส่วน 95 : 5 นั้นคงที่

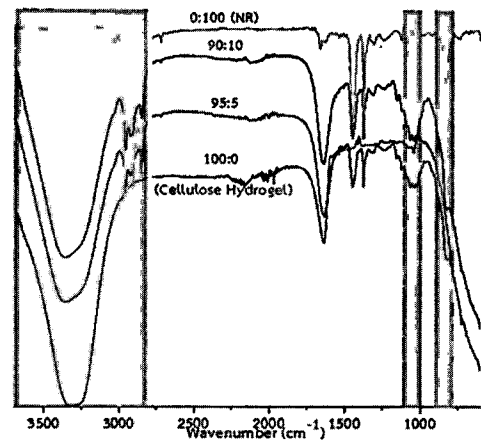
มาได้โดยไม่เกิดการฉีกขาด ในอัตราส่วน 90 : 10 เมื่อค่อยๆ เติมสารละลายน้ำยาธรรมชาติลงไปในสารละลายน้ำยาธรรมชาติ พบว่า มีส่วนของยางที่เกิดการจับตัวเป็นก้อนเพิ่มมากขึ้น แต่ก็ยังสามารถขึ้นรูปเป็นไฮโดรเจลได้ เมื่อลองสัมผัสที่ผิวของไฮโดรเจลก็สามารถหยับขึ้นมาได้โดยไม่มีการฉีกขาด เหตุที่เป็นเช่นนี้เพราะเมื่อเติมสารละลายน้ำยาในปริมาณที่พอเหมาะ อนุภาคของยางจะเข้าไปเป็นตัวเชื่อมประสานให้เนื้อเซลลูโลส



เกิดการคงรูปเจลได้ดีขึ้น และมีการคงรูปได้ดีกว่าอัตราส่วน 95 : 5 ส่วนการเตรียมไอกอเรเจลที่อัตราส่วน 85 : 15 พบร่วมกันคืออย่างไร ทดสอบรายละเอียดของชีวมวลในสารละลาย เชลลูโลสที่มีการกรองอยู่ตลอดเวลา สารละลายจะเกิดการแยกส่วนอย่างชัดเจน โดยสารละลายยางธรรมชาติจะเกิดการจับตัวเป็นก้อน นอกเหนือนี้ยังทำให้เชลลูโลสที่ละลายอยู่ ในสารละลายเกิดการจับตัวเป็นก้อนด้วย จึงทำให้มีสามารถทำให้เจลคงรูปได้ เหตุที่เป็นเช่นนี้พราะว่าเชลลูโลสมีความเป็นข้าวสูง ในขณะที่ยางธรรมชาติไม่มีความเป็นข้าว เมื่อผสมสารละลายทั้งสองชนิดเข้าด้วยกันในปริมาณที่มากเกินไป จะทำให้ทั้งสองส่วนเกิดความไม่เข้ากันและแยกເປັກกันในที่สุด

### 3.2 โครงสร้างทางเคมีของไอกอเรเจลที่เตรียมได้

โครงสร้างทางเคมีของไอกอเรเจลที่เตรียมได้ สามารถทดสอบได้จากเครื่องฟูรีเรียร์ранส์ฟอร์મอินฟราเรด สเปกตรโสโคปี ดังแสดงในรูปที่ 2 ไอกอเรเจลที่เตรียมได้ จากสารละลายเชลลูโลสจากเส้นใยปาล์มเพียงอย่างเดียว พบนสเปกตรัมที่บริเวณความยาวคลื่น  $900\text{--}1200\text{ cm}^{-1}$  ซึ่งแสดงให้เห็นถึงโครงสร้างของพันธะ C-O-C และ C-O ที่เป็นโครงสร้างสำคัญของเชลลูโลส นอกจากนี้ยังเห็นสเปกตรัมที่ความยาวคลื่น  $1640\text{ cm}^{-1}$  และสเปกตรัมกว้างที่ความยาวคลื่น  $3000\text{--}3800\text{ cm}^{-1}$  ซึ่งแสดงถึงพันธะ OH ที่เกิดจากการดูดซับน้ำ [15]–[18] ส่วนการทดสอบโครงสร้างของยางธรรมชาติพบเลขคื่นที่สำคัญคือ  $835\text{ cm}^{-1}$  บ่งชี้ถึงหมู่ฟังก์ชัน C-H ที่ต่อ กับพันธะคู่ในโครงสร้างแบบชิส (cis) ของยางธรรมชาติ และสเปกตรานิ่งความยาวคลื่น  $2800\text{--}3000\text{ cm}^{-1}$  ที่แสดงถึงพิกัดของ CH,  $\text{CH}_2$  และ  $\text{CH}_3$  ของยางธรรมชาติ [17], [18] ส่วนไอกอเรเจลที่เตรียมได้จากสารละลายผสมระหว่างสารละลายเชลลูโลสและสารละลายยางธรรมชาติ พบนสเปกตรัมที่ช่วงความยาวคลื่นต่างๆ เช่น เดียวกับไอกอเรเจลที่เตรียมจากสารละลายเชลลูโลสเพียงอย่างเดียว และสเปกตรัมเหมือนเดียวกับยางธรรมชาติบริสุทธิ์ จึงสามารถยืนยันได้ว่าในไอกอเรเจลผสมนั้นมีส่วนของเชลลูโลส และยางธรรมชาติผสมอยู่ด้วยกัน



รูปที่ 2 อินฟราเรดสเปกโตรสโคปีของไอกอเรเจลที่เตรียมได้

### 3.3 การดูดซับน้ำของไอกอเรเจลที่เตรียมได้

ตารางที่ 1 ค่าการดูดซับน้ำ (%) ของไอกอเรเจลที่เตรียมได้

ตัวอย่าง	สารละลาย เชลลูโลส (%)	สารละลาย ยางพารา (%)	การดูดซับน้ำ (%)	
			$\bar{x}$	S.D.
100 : 0	100	0	382	24
95 : 5	95	5	348	13
90 : 10	90	10	316	30
85 : 15	85	15	-	-
0 : 100	0	100	0	0

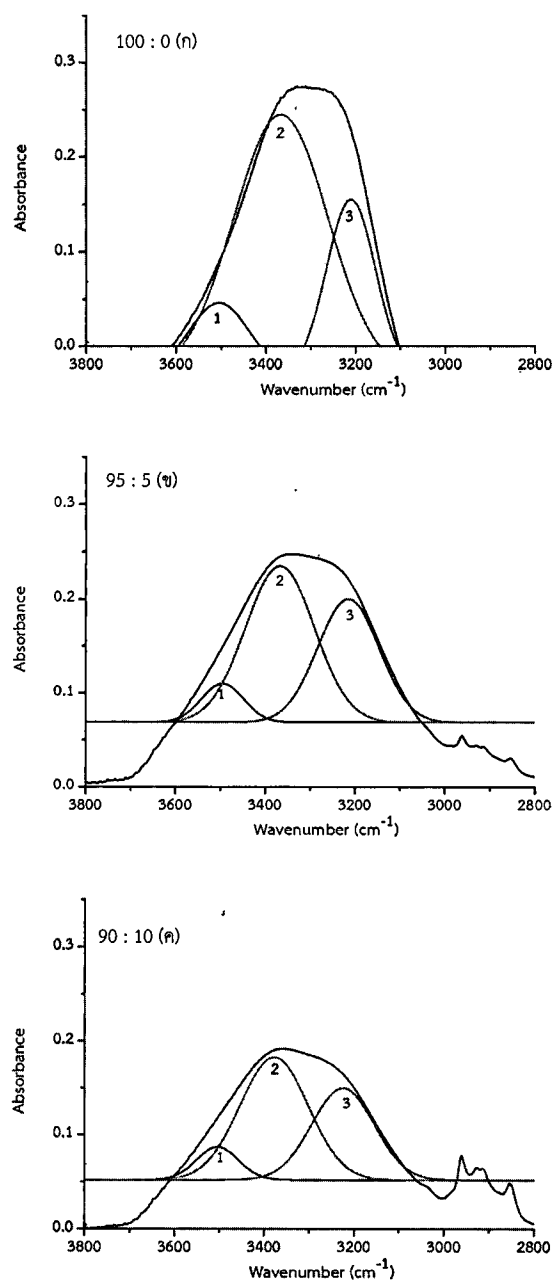
จากตารางที่ 1 แสดงค่าที่ได้จากการคำนวณหาเปอร์เซ็นต์ของการดูดซับน้ำของไอกอเรเจลที่เตรียมได้ โดยการหาค่าจากน้ำหนักก่อน และหลังแช่ไอกอเรเจลตัวอย่างในน้ำเป็นเวลา 7 วัน พบร่วมไอกอเรเจลที่เตรียมได้จากสารละลายเชลลูโลสจากเส้นใยปาล์มเพียงอย่างเดียวมีค่าการดูดซับน้ำสูงที่สุด รองลงมาคือไอกอเรเจลที่เตรียมได้จากสารละลายผสมระหว่างเชลลูโลสและยางธรรมชาติที่อัตราส่วน 95 : 5 และไอกอเรเจลผสมที่อัตราส่วน 90 : 10 มีค่าน้อยที่สุด ส่วนที่อัตราส่วน 85 : 15 ไม่สามารถคำนวณค่าได้เนื่องจากที่อัตราส่วนนี้ไม่สามารถทำให้ไอกอเรเจลคงรูปได้ จากการที่เชลลูโลส และยางธรรมชาติเกิดการแยกส่วนกันอย่างชัดเจน และเมื่อทดสอบค่าการดูดซับน้ำของยางธรรมชาติบริสุทธิ์

พบว่า ไม่สามารถดูดซับน้ำได้เลย เนื่องจากเป็นเช่นนี้ เพราะว่า ยางธรรมชาติมีเฉพาะส่วนของคาร์บอนและไฮโดรเจนในโครงสร้างเพียงเท่านั้น จึงถือได้ว่าเป็นสารที่ไม่มีข้อไม่สามารถดูดซับน้ำซึ่งเป็นโครงสร้างที่มีข้อได้ ในขณะที่ไฮโดรเจลที่เตรียมจากสารละลายเซลลูโลสเพียงอย่างเดียวกลับมีค่าการดูดซับน้ำสูงที่สุดเนื่องจากในโครงสร้างของเซลลูโลสมีส่วนของหมู่ไฮดรอกซิล ( $\text{OH}$ ) ซึ่งเป็นหมู่ที่ขอบน้ำอยู่เป็นจำนวนมาก จึงทำให้เกิดการดูดซับน้ำได้ดี

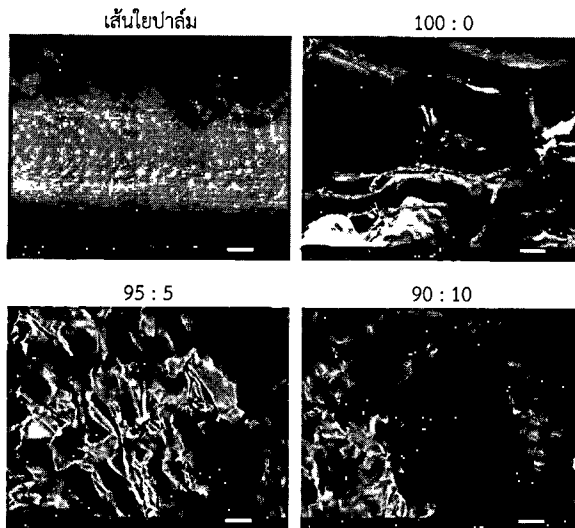
จากการทดลองการดูดซับน้ำนี้สามารถยืนยันได้อีกครั้งด้วย การแยกพื้ก FT-IR สเปกตร้า ในช่วงกว้าง 3800–2800  $\text{cm}^{-1}$  ซึ่งเป็นพื้กของหมู่ไฮดรอกซิลที่เกิดพันธะที่โครงสร้างต่างๆ กัน ดังแสดงในรูปที่ 3 โดยพื้กตำแหน่งที่ 1 แสดงถึงพื้กของโมเลกุลของน้ำที่เป็นอิสระ พื้กตำแหน่งที่ 2 แสดงถึงพื้กของโมเลกุลของสายพอลิแซกคาร์ไรด์ และพื้กตำแหน่งที่ 3 แสดงถึงแสดงถึงพันธะไฮโดรเจนระหว่างน้ำและสายโพลิเมอร์ [17], [21]–[23] ซึ่งพบว่า ไฮโดรเจลที่เตรียมได้จากสารละลายผสมที่อัตราส่วน 95 : 5 มีพื้กของพันธะไฮโดรเจนระหว่างน้ำกับสายโพลิเมอร์สูงกว่า ไฮโดรเจลที่เตรียมได้จากสารละลายผสมที่อัตราส่วน 90 : 10 ซึ่งแสดงถึงว่า หัวน้ำอาจเกิดจากความหนาของไฮโดรเจลในชั้นทดสอบที่ไม่เท่ากันจึงทำให้เห็นพันธะระหว่างน้ำกับสายโพลิเมอร์ที่ต่างกัน แต่อย่างไรก็ตาม การทดสอบนี้สามารถยืนยันได้ว่า ไฮโดรเจลที่เตรียมได้สามารถดูดซับน้ำได้ดี ทำให้เกิดพันธะไฮโดรเจนระหว่างน้ำกับเซลลูโลสในไฮโดรเจล

### 3.4 สัณฐานวิทยาของไฮโดรเจลที่เตรียมได้

รูปที่ 4 แสดงพื้นผิวของเส้นใยปาล์ม และภาคตัดขวางของไฮโดรเจลที่ทดสอบจากกล้องจุลทรรศน์อิเล็กตรอนแบบส่องกราด โดยรูปเส้นใยปาล์มจะเห็นลักษณะขุ่นระที่ผิวของเส้นใยเนื่องจากเส้นใยปาล์มเป็นเส้นใยที่มีความแข็งมาก ข้างนอกของเส้นใยมีส่วนของลิกนินและเอมิเซลลูโลสห่อหุ้มส่วนของเซลลูโลสอยู่ ดังนั้นก่อนที่จะนำเอาเส้นใยมาทำเป็นผลิตภัณฑ์ ไฮโดรเจลจึงต้องมีการปรับสภาพของเส้นใยเพื่อกำจัดลิกนินและเอมิเซลลูโลสออกไปก่อน ในส่วนของไฮโดรเจลจะเห็นว่า มีส่วนของโครงสร้างทاข่ายเขื่อมขวางระหว่างเส้นใยเซลลูโลสที่เกิดจากกระบวนการเปลี่ยนเฟสแบบเปียก ซึ่งเป็นกระบวนการ



รูปที่ 3 การแยกพื้ก FT-IR สเปกตร้า ในช่วงกว้าง 3800–2800  $\text{cm}^{-1}$  ของไฮโดรเจลที่เตรียมได้ (ก) ไฮโดรเจลจากเส้นใยปาล์ม (ข) ไฮโดรเจลผสมสารละลายเซลลูโลสและยางธรรมชาติที่อัตราส่วน 95 : 5 (ค) ไฮโดรเจลผสมสารละลายเซลลูโลสและยางธรรมชาติที่อัตราส่วน 90 : 10



รูปที่ 4 เส้นใยปาล์มที่ยังไม่ผ่านการปรับสภาพและโครงสร้างภาคตัดขวางของไฮโดรเจลที่เตรียมได้ที่อัตราส่วนต่างๆ กัน

การที่เปลี่ยนสภาพสารละลายจากของเหลวมาเป็นของแข็งโดยมีไอของออกซานอลเป็นตัวช่วยในการเปลี่ยนสภาพ [16] จึงทำให้ของแข็งที่ได้จะมีส่วนของโครงสร้างต่าข่ายที่ช่วยให้เกิดการคงรูปของเส้นใย ซึ่งสังเกตได้ว่าไฮโดรเจลที่เตรียมจากเซลลูโลสจากเส้นใยปาล์มเพียงอย่างเดียวมีอัตราส่วนของโครงสร้างที่เกิดจากโครงสร้างต่าข่ายขนาดใหญ่มาก ส่วนของโครงสร้างนี้จะทำหน้าที่เป็นตัวช่วยในการดูดซับน้ำให้เพิ่มมากขึ้น แต่ก็ทำให้ความแข็งแรงและการคงรูปของไฮโดรเจลดต่ำลง เมื่อเติมสารละลายยางลงไปผสม อนุภาคของยางที่มีลักษณะเป็นอนุภาคทรงกลมขนาดเล็กจะเข้าไปอุดที่โพรงของไฮโดรเจลทำให้โครงสร้างขาดเล็กลง [17], [18] สังเกตได้ว่าไฮโดรเจลที่เตรียมจากสารละลายเซลลูโลสต่อสารละลายยางอัตราส่วน 90 : 10 จะมีการเชื่อมต่อของพื้นผิวมากกว่าที่อัตราส่วน 95 : 5 เนื่องจากใส่เนื้อยางที่ปริมาณมากกว่าจึงทำให้ออนุภาคของยางเข้าไปเติมเต็มที่โพรงได้จำนวนมากกว่า ยางจึงทำหน้าที่เป็นตัวเสริมแรงในไฮโดรเจลผสมที่มีส่วนของเซลลูโลสเป็นเนื้อพื้น จึงทำให้ไฮโดรเจลผสมสามารถคงรูปและมีความแข็งแรงมากกว่าไฮโดรเจลที่เตรียมได้จากสารละลายเซลลูโลสจากเส้นใยปาล์มเพียงอย่างเดียว

#### 4. สรุป

การเตรียมไฮโดรเจลผสมระหว่างสารละลายเซลลูโลสจากเส้นใยปาล์มและสารละลายยางธรรมชาติ เพื่อเพิ่มความคงรูปให้แก่ไฮโดรเจลจากเส้นใยปาล์ม สามารถเตรียมได้ที่อัตราส่วนระหว่างสารละลายเซลลูโลสจากเส้นใยปาล์ม 90–95% โดยปริมาตรต่อสารละลายยางธรรมชาติ 5–10% โดยปริมาตร ซึ่งไฮโดรเจลผสมที่เตรียมได้นี้จะมีการคงรูปและความแข็งแรงที่ดีกว่าไฮโดรเจลที่เตรียมได้จากเซลลูโลสจากเส้นใยปาล์มเพียงอย่างเดียว เนื่องจากอนุภาคของยางจะเข้าไปเติมเต็มในโพรงที่เกิดจากการเชื่อมโยงต่าข่ายของเส้นใยเซลลูโลสเกิดการผสานเป็นเนื้อเดียวกัน ยางจึงทำหน้าที่เป็นตัวเสริมแรงในไฮโดรเจลผสมที่มีส่วนของเซลลูโลสเป็นเนื้อพื้น ทำให้ไฮโดรเจลผสมมีการคงรูปที่ดีและมีความแข็งแรงเพิ่มขึ้น นอกจากนี้ไฮโดรเจลผสมยังมีอัตราการดูดซับน้ำที่สูง ถึงแม้ว่าจะน้อยกว่าไฮโดรเจลที่เตรียมได้จากเส้นใยปาล์มเพียงอย่างเดียว แต่ก็ยังสามารถนำไปใช้งานเป็นวัสดุดูดซับน้ำที่ดีได้

#### 5. กิตติกรรมประกาศ

ผู้วิจัยขอขอบพระคุณมหาวิทยาลัยราชภัฏสุราษฎร์ธานี ที่ให้ทุนสนับสนุนในการวิจัยครั้งนี้ และขอขอบคุณ ดร. มงคล โอปมาวุฒิกุล ที่ได้ให้คำแนะนำในการวิจัยนี้

#### เอกสารอ้างอิง

- [1] C. Ivanov, M. Popa, M. Ivanov, and A. A. Popa, "Synthesis of poly (vinyl alcohol) – methyl cellulose hydrogel as possible scaffolds in tissue engineering," *Journal of Optoelectronics and Advanced Materials*, vol. 9, no. 11, pp. 3440–3444, 2007.
- [2] D. Pasqui, P. Torricelli, M. De Cagna, M. Fini, and R. Barbucci, "Carboxymethyl cellulose-hydroxyapatite hybrid hydrogel as a composite material for bone tissue engineering applications," *Journal of Biomedical Materials Research Part A*,



- vol. 102, no. 5, pp. 1568–1579, 2014.
- [3] S. Park, S. H. Kim, J. H. Kim, H. Yu, H. J. Kim, Y.-H. Yang, H. Kim, Y. H. Kim, S. H. Ha, and S. H. Lee, “Application of cellulose/lignin hydrogel beads as novel supports for immobilizing lipase,” *Journal of Molecular Catalysis B-Enzymatic*, vol. 119, pp. 33–39, 2015.
- [4] D. F. Li, Y. X. Ye, D. R. Li, X. Y. Li, and C. D. Mu, “Biological properties of dialdehyde carboxymethyl cellulose crosslinked gelatin-PEG composite hydrogel fibers for wound dressings,” *Carbohydrate Polymers*, vol. 137, pp. 508–514, 2016.
- [5] N. Mohammed, N. Grishkewich, R. Berry, and K. Tam, “Cellulose nanocrystal-alginate hydrogel beads as novel adsorbents for organic dyes in aqueous solutions,” *Cellulose*, vol. 22, pp. 3725–3738, 2015.
- [6] M. M. Ibrahim, M. Abd-Eladl, and N. H. Abou-Baker, “Lignocellulosic biomass for the preparation of cellulose-based hydrogel and its use for optimizing water resources in agriculture,” *Journal of Applied Polymer Science*, vol. 132, no. 42, pp. 1–12, 2015.
- [7] D. W. Davidson, M. S. Verma, and F. X. Gu, “Controlled root targeted delivery of fertilizer using an ionically crosslinked carboxymethyl cellulose hydrogel matrix,” *Springerplus*, vol. 2, pp. 1–9, 2013.
- [8] A. Bortolin, F. A. Aouada, L. H. C. Mattoso, and C. Ribeiro, “Nanocomposite PAAm/methyl cellulose/montmorillonite hydrogel: Evidence of synergistic effects for the slow release of fertilizers,” *Journal of Agricultural and Food Chemistry*, vol. 61, no. 31, pp. 7431–7439, 2013,
- [9] C. Vudjung, U. Chaisawan, U. Pangan, N. Chaipugdee, S. Boonyod, O. Santawitee, and S. Saengsuwan, “Effect of natural rubber contents on biodegradation and water absorption of interpenetrating polymer network (IPN) hydrogel from natural rubber and cassava starch,” *Energy Procedia*, vol. 56, pp. 255–263, 2014.
- [10] C. Spagnol, F. H. A. Rodrigues, A. G. B. Pereira, A. R. Fajardo, A. F. Rubira, and E. C. Muniz, “Superabsorbent hydrogel composite made of cellulose nanofibrils and chitosan-graft-poly (acrylic acid),” *Carbohydrate Polymers*, vol. 87, no. 3, pp. 2038–2045, 2012.
- [11] A. Sannino, M. Madaghiele, M. G. Lionetto, T. Schettino, and A. Maffezzoli, “A cellulose-based hydrogel as a potential bulking agent for hypocaloric diets: An in vitro biocompatibility study on rat intestine,” *Journal of Applied Polymer Science*, vol. 102, no. 2, pp. 1524–1530, 2006.
- [12] E. Pinho, M. Henriques, and G. Soares, “Cyclodextrin/cellulose hydrogel with gallic acid to prevent wound infection,” *Cellulose*, vol. 21, pp. 4519–4530, 2014.
- [13] H. Dong, J. F. Snyder, D. T. Tran, and J. L. Leadore, “Hydrogel, aerogel and film of cellulose nanofibrils functionalized with silver nanoparticles,” *Carbohydrate Polymers*, vol. 95, no. 2, pp. 760–767, 2013.
- [14] A. Boonmahitisud, L. Nakajima, K. D. Nguyen, and T. Kobayashi, “Composite effect of silica nanoparticle on the mechanical properties of cellulose-based hydrogels derived from cottonseed hulls,” *Journal of Applied Polymer Science*, vol. 134, no. 10, pp. 1–12, 2017.



- [15] K. L. Tovar-Carrillo, M. Tagaya, and T. Kobayashi, “Bamboo fibers elaborating cellulose hydrogel films for medical applications,” *Journal of Materials Science and Chemical Engineering*, vol. 1, no. 7, pp. 7–12, 2013.
- [16] K. Nakasone, S. Ikematsu, and T. Kobayashi, “Biocompatibility evaluation of cellulose hydrogel film regenerated from sugar cane bagasse waste and its in vivo behavior in mice,” *Industrial & Engineering Chemistry Research*, vol. 55, no. 1, pp. 30–37, 2015.
- [17] N. Srirachya, K. Boonkerd, L. Nakajima, and T. Kobayashi, “Bio-composite hydrogels of cellulose and vulcanized natural rubber with nanointerconnected layers for reinforced water-retaining materials,” *Polymer Bulletin*, vol. 75, pp. 5493–5512, 2018.
- [18] N. Srirachya, K. Boonkerd, and T. Kobayashi, “Effective elongation properties of cellulose-natural rubber composite hydrogels having interconnected domain,” *Journal of Elastomers & Plastics*, vol. 52, no. 4, pp. 337–355, 2019.
- [19] S. Gan, S. Zakaria, C. Chia, and F. Padzil, “Effect of hydrothermal pretreatment on solubility and formation of kenaf cellulose membrane and hydrogel,” *Carbohydrate Polymers*, vol. 115, pp. 62–68, 2015.
- [20] N. Srirachya and A. Nido, “The green preparation of cellulose fibrils from oil palm leaf stalk fibers for hydrogel applications,” *Key Engineering Materials*, vol. 841, pp. 103–107, 2020.
- [21] K. Tovar-Carrillo, K. Nakasone, S. Sugita, M. Tagaya, and T. Kobayashi, “Effects of sodium hypochlorite on agave tequilana weber bagasse fibers used to elaborate cyto and biocompatible hydrogel films,” *Journal of Materials Science and Chemical Engineering*, vol. 42, pp. 808–815, 2014.
- [22] H. Jiang, K. Tovar-Carrillo, and T. Kobayashi, “Ultrasound stimulated release of mimosa medicine from cellulose hydrogel matrix,” *Ultrasonics Sonochemistry*, vol. 32, pp. 398–406, 2016.
- [23] K. Li, S. Noguchi, and T. Kobayashi, “Ultrasound-responsive behavior of gelatinous ionic liquid/poly (vinyl alcohol) composites,” *Industrial & Engineering Chemistry Research*, vol. 55, pp. 9915–9924, 2016.